

ПРИБЛИЖЕННАЯ МОДЕЛЬ ПЕРЕНОСА ТЕПЛА И ВЛАГИ В РАСТИТЕЛЬНОМ ПОКРОВЕ С УЧЕТОМ БАЛАНСА ЭНЕРГИИ

А.В. Воротынцев

avv_alexv@mail.ru, ВЦ РАН, Москва, Россия

1. Схема переноса тепла и влаги в растительном покрове и почве

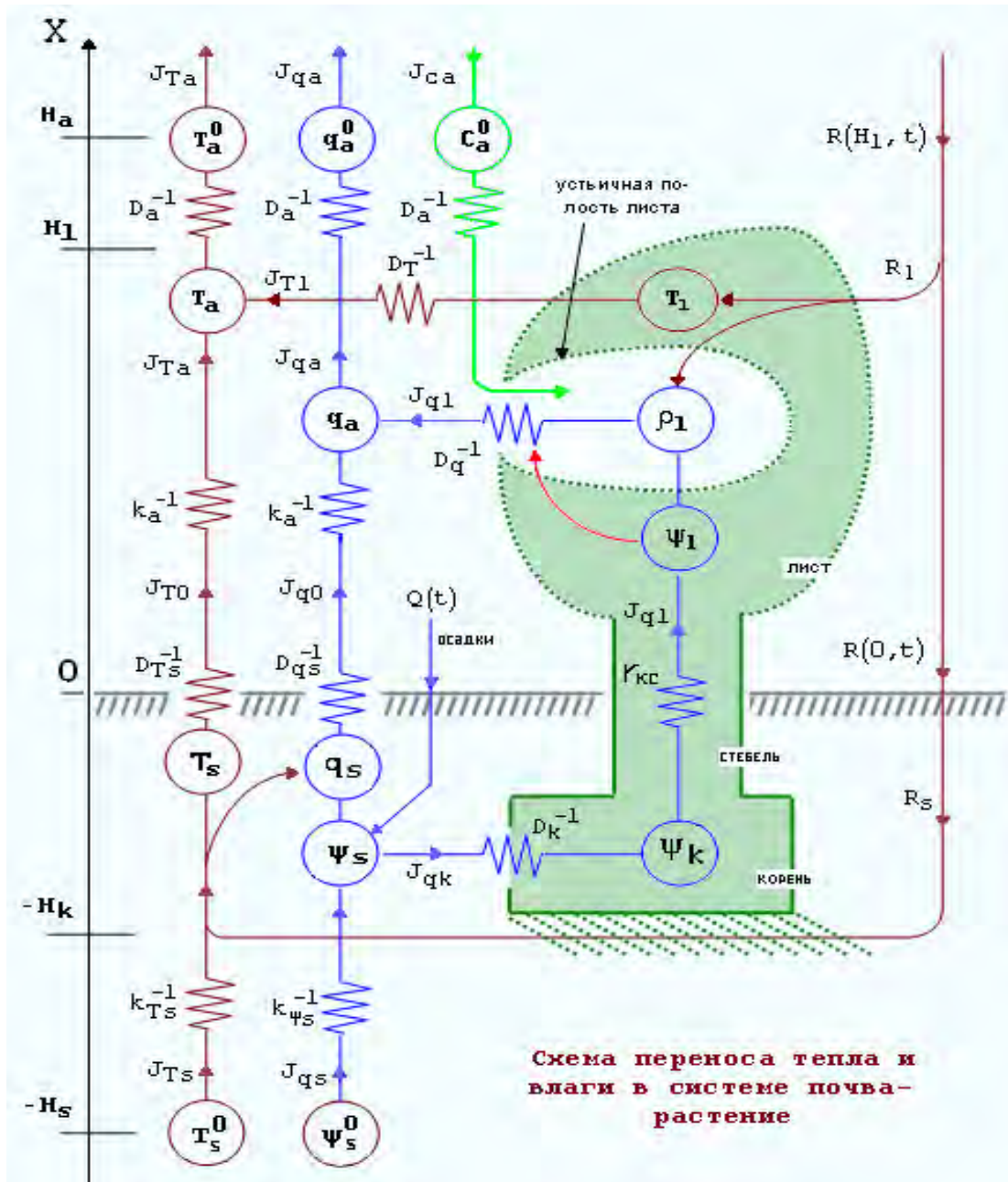


Рис. 1. Схема переноса тепла и влаги в РП и почве.

На рис. 1 представлена схема потоков тепла и влаги в системе почва-растение. На схеме зигзагами изображены сопротивления, которые преодолевают потоки тепла и влаги. Сопротивления позволяют определить потоки тепла и влаги. Например, поток J_{ql} водяного пара из листьев в межлистное пространство, преодолевающий сопротивление D_q^{-1} , равен $J_{ql} = -D_q(q_a - q_l)$, где q_l и q_a – концентрации пара внутри и вне листьев. Аналогично в непрерывном случае уравнение $\partial y / \partial t = -\text{div } J + f$, $J = -k \nabla y$ описывает перенос и накопление концентрации y вещества.

Многие параметры модели рис. 1, например сопротивления потокам, трудно измерить. Поэтому представляется необходимым построение ряда приближенных моделей, допускающих идентификацию.

2. Системы уравнений модели переноса тепла и влаги

Моделирование переноса тепла и влаги является одной из главных задач моделирования растительного покрова (РП), поскольку здесь определяется сопротивление устьичных щелей листьев, регулирующее поглощение CO_2 и его преобразование в биомассу органов в процессе фотосинтеза, т.е. регулирующее рост биомассы растительного покрова.

Приведем уравнения модели переноса тепла и влаги, изображенного на рис. 1, см. [1], [2]. В слое $0 \leq x \leq H_l$ растительного покрова и в корнеобитаемом слое почвы $-H_s \leq x \leq 0$ рассмотрим че-

тыре связанные системы уравнений: 2 системы уравнений (1)-(4) для температуры воздуха T_a , листьев T_l , концентрации водяного пара в межлиственном воздухе q_a , в устьичных полостях листьев q_l :

$$J_{Ta} = -c_p k_a \partial T_a / \partial x, \quad J_{qa} = -k_a \partial q_a / \partial x, \quad (1)$$

$$c_p \partial T_a / \partial t = -\partial J_{Ta} / \partial x + f_{Tl}, \quad \partial q_a / \partial t = -\partial J_{qa} / \partial x + f_{ql}, \quad (2)$$

$$f_{Tl} = c_p D_T S_l (T_l - T_a) p_l, \quad f_{ql} = D_q S_l (q_l - q_a) p_l, \quad (3)$$

$$f_{Tl} + \chi f_{ql} = \partial R_{ll} / \partial x, \quad (4)$$

и 2 системы (5-7) для температуры поверхности T_s почвы и водного потенциала $\psi_s < 0$ почвы:

$$J_{Ts} = -c_p k_{Ts} \partial T_s / \partial x, \quad J_{\psi_s} = -k_{\psi_s} \partial \psi_s / \partial x, \quad (5)$$

$$c_s \partial T_s / \partial t = -\partial J_{Ts} / \partial x, \quad c_\psi \partial \psi_s / \partial t = -\partial J_{\psi_s} / \partial x - f_{\psi_s}, \quad (6)$$

$$f_{\psi_s} = J_{ql} p_k + D_k S_k (\psi_s - \bar{\psi}_s) p_k, \quad (7)$$

с краевыми условиями:

$$T_a = T_a^0(t), \quad q_a = q_a^0(t), \quad x = H_a;$$

$$J_{Ta} = c_p D_a (T_a - T_a^0), \quad J_{qa} = D_a (q_a - q_a^0), \quad x = H_l; \quad (8)$$

$$J_{Ta} = c_p D_{Ts} (T_s - T_a), \quad J_{qa} = D_{qs} (q_s - q_a), \quad x = 0; \quad (9)$$

$$J_{Ta} + \chi J_{qa} - J_{Ts} = R(0, t), \quad -J_{\psi_s} + J_{qa} = Q(t), \quad x = 0; \quad (10)$$

$$T_s = T_s^0, \quad \psi_s = \psi_s^0, \quad x = -H_s; \quad (11)$$

Ассимиляция CO₂ листьями, а также, как видно из (3), транспирация J_{q_l} листьев и в целом транспорт воды в растениях регулируются проводимостью устьиц D_q , водным потенциалом листьев ψ_l , $\psi_m \leq \psi_l < 0$, устьичным сопротивлением r_{st} листьев и описывается нелинейными выражениями:

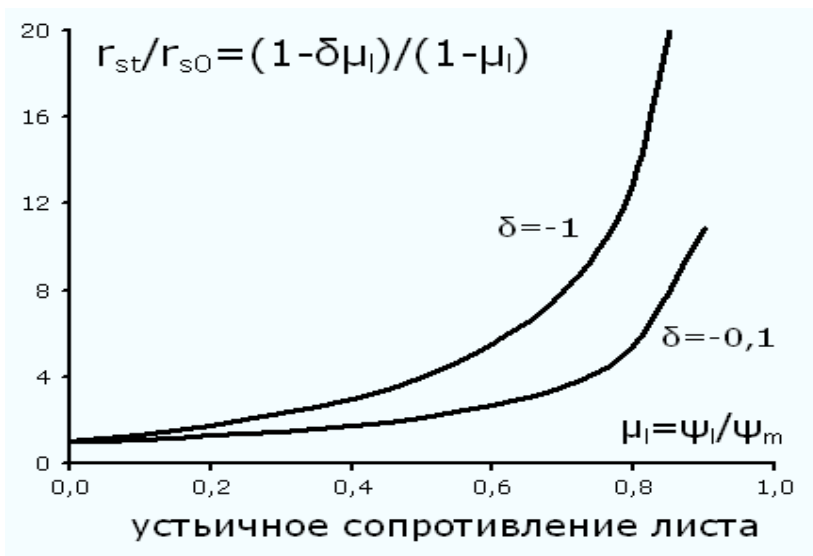
$$J_{q_l} = \int_0^{H_l} f_{q_l} dx, \quad J_{q_l} = D'_k (\bar{\psi}_s - \psi_l), \quad \text{при } \psi_m < \psi_l < \bar{\psi}_s < 0;$$

иначе $J_{q_l} = 0$, при $\bar{\psi}_s \leq \psi_m < 0$,

где $\bar{\psi}_s = \int_{-H_k}^0 \psi_s p_k dx$; $r_{st}(\mu_l) = r_{s0}(1 - \delta|\mu_l|)(1 - \mu_l)^{-1}$,

$$1/D_q = 1/D_T + r_{st}, \quad 1/D'_k = r_{kc} + 1/(D_k S_k);$$

$$0 < \mu_l \equiv \psi_l/\psi_m < 1; \tag{12}$$



Здесь J_{Ta} , J_{qa} – потоки тепла и водяного пара в воздухе; J_{Ts} , $J_{\psi s}$ – потоки тепла и воды в почве; $R_{ll}(x, t)$ – заданная поглощенная слоем $(0, x)$ длинноволновая и коротковол-

новая радиация, $R(0, t)$ – радиационный баланс у поверхности почвы; $R_s = R(0, t) + J_{Ts}|_{x=0}$; S_l , S_k – поверхности листьев и

корней на единицу поверхности почвы; $S_{lp_l}(x)$, $S_{kp_k}(x)$ – плотность листовой и всасывающей корневой поверхности. T_a^0 , q_a^0 , $Q(t)$ и T_S^0 , ψ_S^0 – заданные функции времени, измеряемые на высоте H_a метеобудки над покровом и на глубине $-H_S$ почвы; остальное – заданные константы. Здесь c_p , c_s – теплоемкость воздуха и почвы, $k_a(x)$ – коэффициент турбулентной проводимости воздуха и k_{TS} – коэффициент теплопроводности почвы; k_{ψ_S} – коэффициент влагопроводности почвы; χ – теплота парообразования; D_T , D_q , D_k , D_a , D_{TS} , D_{qs} – проводимости, см. рис. 1; $\bar{\psi}_S$ – усредненный водный потенциал корнеобитаемого слоя почвы.

Потоки являются величинами, имеющими знак. Направления положительных потоков указаны на рис. 1 стрелками. Дифференциальные уравнения систем (1)-(11) связаны алгебраическими выражениями (4) и (10), описывающими балансы энергии в межлиственном воздухе и на поверхности почвы.

Модель (1)-(12) позволяет рассчитать влияние внешних условий на величину устьичного сопротивления r_{st} , с помощью которого растение балансирует свой температурный режим T_l , тургор листьев и поглощение CO_2 , затрачиваемое на рост биомассы. Рост внутрилистного давления (тургора), растягивающего лист, способ-

ствуется росту биомассы листа за счет продуктов фотосинтеза. Полагают, что величина сопротивления r_{st} определяется водным потенциалом $\psi_l < 0$ листа и его потенциалом завядания $\psi_m < 0$, как показано на рис. 2. Эта зависимость существенно нелинейна. Чем ближе ψ_l к ψ_m , $\psi_m < \psi_l \leq 0$, тем больше сопротивление r_{st} и тем меньше вынос тепла и воды транспирацией J_{ql} листьев, тем больше T_l и больше тургор, но меньше поглощение CO_2 листьями и соответственно наоборот.

Перенос тепла и пара в растительном покрове осуществляется турбулентным перемешиванием. Турбулентное перемешивание появляется из-за того, что днем почва нагревается больше, чем надпочвенный воздух. Поэтому верхние более холодные и тяжелые массы воздуха опускаются вниз, выталкивая вверх нижние более теплые и поэтому легкие массы воздуха, которые затем охлаждаются и снова опускаются вниз.

3. Обозначения

Введем обозначения:

$$d_a(x, t) = \rho(T_a) - q_a, \quad d_s = \rho(T_s) - q_s, \quad d_a^0 = \rho(T_a^0) - q_a^0(t);$$

$$\rho(T) = \rho(T_1) + \delta(T - T_1);$$

$$k(x) = \frac{k_a(x)}{1 + \delta\chi/c_p}, \quad G = \frac{1}{1 + c_p/(\delta\chi)}, \quad G_l = G(1 - b_l), \quad G_s = G(1 - b_s);$$

$$\frac{1}{D_{ak}} = \int_0^{H_l} \frac{d\xi}{k_a(x)}, \quad \frac{1}{D'_{ak}} = \frac{\delta\chi}{c_p D_{ak}}, \quad \frac{1}{D'_{HK}} = \frac{1}{D_{ak}} + \frac{1}{D'_{ak}} = \int_0^{H_l} \frac{d\xi}{k(\xi)},$$

$$\frac{1}{D'_{Ta}} = \frac{\delta\chi}{c_p D_a}, \quad \frac{1}{D'_q} = \frac{1}{D_q S_l}, \quad \frac{1}{D'_T} = \frac{\delta\chi}{c_p D_T S_l}, \quad \frac{1}{D'_{Ts}} = \frac{\delta\chi}{c_p D_{Ts}},$$

$$\frac{1}{D_a} = \frac{1}{D_a} + \frac{1}{D'_{Ta}}, \quad \frac{1}{D_l} = \frac{1}{D_q} + \frac{1}{D'_T}, \quad \frac{1}{D_s} = \frac{1}{D_{qs}} + \frac{1}{D'_{Ts}},$$

$$b_l = G^{-1} \frac{D'_l}{D'_T}, \quad b_s = G^{-1} \frac{D'_s}{D'_{Ts}}, \quad D'_\Sigma = D'_a + D'_l + D'_s. \quad (13)$$

4. Квазистационарная приближенная модель переноса

Для $\partial q_a / \partial t \rightarrow 0$, $\partial q_a / \partial t \rightarrow 0$ в [1] получена квазистационарная модель переноса тепла и влаги в растительном покрове, определяющая все потоки и переменные системы (1)-(4), например,

$$J_{qa} = \chi^{-1} G R_a^0 + D'_a (d_a^0 - y), \quad x = H_l;$$

$$\frac{\partial}{\partial x} J_{qa} = \chi^{-1} D'_l \left\{ \frac{R'_{ll}}{D'_T} + \chi p_l y \right\}, \quad 0 \leq x \leq H_l;$$

$$J_{qa} = \chi^{-1} D'_s \left\{ \frac{R_s}{D'_{Ts}} + \chi (y - d_s) \right\}, \quad x = 0.$$

и т.д. через одну функцию $y(t, x)$ – дефицит влажности воздуха в растительном покрове. При этом функция $y(t, x)$ оказывается решением интегрального уравнения, полученного в [1].

5. Приближенная модель переноса для $K_a \rightarrow \infty$

Для хорошо вентилируемого растительного покрова при коэффициенте турбулентной проводимости $K_a \rightarrow \infty$ в [1] получено приближенное решение $y(t, x)$ интегрального уравнения в виде

алгебраического выражения для дефицита влажности воздуха $y(t, x) = d_a$. Отсюда получены сравнительно простые алгебраические выражения (14)-(16) для потоков влаги J_{qa} и тепла J_{Ta} на верхней границе покрова и потоков J_{q0} и J_{T0} у поверхности почвы, а также для потока транспирации J_{qI} и потока тепла J_{TI} , исходящих от растений, а также выражения для температур и концентраций водяного пара:

$$d_a = \chi^{-1} G \frac{R_a^0 - b_l R_l - b_s R_s}{D'_\Sigma} + \frac{D'_a d_a^0 + D'_s d_s}{D'_\Sigma};$$

$$J_{qa} = \chi^{-1} G R_a^0 + D'_a (d_a^0 - d_a), \quad J_{Ta} = (1 - G) R_a^0 - \chi D'_a (d_a^0 - d_a); \quad (14)$$

$$J_{qI} = \chi^{-1} D'_I (R_l / D'_T + \chi d_a), \quad J_{TI} = D'_I (R_l / D'_q - \chi d_a); \quad (15)$$

$$J_{q0} = \chi^{-1} D'_s (R_s / D_{Ts} + \chi (d_a - d_s)), \quad J_{T0} = D'_s (R_s / D_{qs} - \chi (d_a - d_s)), \quad (16)$$

где R_a^0 , R_s - радиационный баланс на границе H_l и у поверхности почвы; R_l - радиация, поглощенная покровом; d_a^0 и d_s - дефициты влажности воздуха при $x = H_l$ и $x = 0$. Транспирация J_{qI} покрова складывается из потоков влаги, испаряемой листьями через устьичные щели. Проводимость D'_I устьичных щелей листьев, существенно зависит от их водного потенциала и в модели (14)-(16) является переменной величиной.

Приближение (14)-(16) позволяет сформулировать задачу связанного тепло- и влагопереноса в почве, в которой (14)-(16) оказываются краевыми условиями, [1]. Такая задача сравнительно проще системы (1)-(12).

6. Приближенная модель переноса при $D'_\Sigma/D'_T \ll 1$, $D'_\Sigma/D'_{TS} \ll 1$

Заметим, что из (13) следует $D'_l/D'_T < 1$, $D'_S/D'_{TS} < 1$. Можно усилить эти неравенства.

В отличие от переноса тепла и пара турбулентным перемешиванием в межлистном воздухе с коэффициентом проводимости k_a перенос вблизи границ лист-воздух и почва-воздух осуществляется другими молекулярными механизмами. Так, тепло переносится столкновениями молекул воздуха сравнительно быстрее чем водяной пар диффузией молекул пара.

Поэтому можно использовать следующие условия для коэффициентов проводимости на границах лист-воздух и почва-воздух:

$$D'_l/D'_T \ll 1, \quad D'_S/D'_{TS} \ll 1, \quad A \bar{D}_\Sigma/D'_{HK} \ll 1; \quad (17)$$

$$D'_\Sigma/D'_T \ll 1, \quad D'_\Sigma/D'_{TS} \ll 1, \quad A \bar{D}_\Sigma/D'_{HK} \ll 1, \quad (18)$$

которые позволяют получить последующие приближения модели (14)-(16). Запись $a \ll 1$ математически эквивалентна $a \rightarrow 0$; она означает: «а много меньше 1», например, $a < 0.1$. В условиях (17)-(18) третье неравенство $A \bar{D}_\Sigma/D'_{HK} \ll 1$ эквивалентно

$K_a \rightarrow \infty$, [1]. Заметим, что более слабое условие (17) следует из (18).

Обозначим

$$\beta = (D'_a + D'_s)/D'_l, \quad b = D'_s/(D'_a + D'_s); \quad (19)$$

Введем обозначения:

$$d_t = (\chi^{-1}GR_a^0 + D'_a d_a^0 + D'_s d_s)/(D'_a + D'_s); \quad (20)$$

Нет раст. покрова:

$$J_{qa}^- = bJ_{qa}^+$$

$$J_{Ta}^+ = bJ_{Ta}^- + (1-b)R_a^0$$

$$d_a^+ = d_t$$

$$q_a^- = q_a^0 + J_{qa}^-/D_a$$

$$T_a^- = T_a^0 + J_{Ta}^-/(c_p D_a)$$

Раст. покров залит водой:

$$J_{qa}^+ = \chi^{-1}GR_a^0 + D'_a d_a^0 \quad (21)$$

$$J_{Ta}^- = (1-G)R_a^0 - \chi D'_a d_a^0 \quad (22)$$

$$d_a^- = 0 \quad (23)$$

$$q_a^+ = q_a^0 + b^{-1}(q_a^- - q_a^0) \quad (24)$$

$$T_a^+ = T_a^0 + b(T_a^- - T_a^0) + (1-b)R_a^0/(c_p D_a) \quad (25)$$

Величины в левом и правом столбцах вычисляются стандартными метеосредствами на высоте H_a над покровом.

Теорема 1. При $D'_l/D'_T \ll 1$, $D'_s/D'_{Ts} \ll 1$ справедливы равенства

$$y_q = \frac{y_q^+ + \beta y_q^-}{1 + \beta}, \quad y_T = \frac{y_T^- + \beta y_T^+}{1 + \beta}, \quad (26)$$

где через y_q^σ и y_T^σ обозначены переменные из множеств

$$y_q^\sigma \in \{J_{qa}^\sigma, q_a^\sigma\} \text{ и } y_T^\sigma \in \{J_{Ta}^\sigma, d_a^\sigma, T_a^\sigma\}, \quad \sigma \in \{\text{пусто}, +, -\}.$$

При этом

$$J_{Ta}^+ + \chi J_{qa}^- = R_a^0, \quad J_{Ta}^- + \chi J_{qa}^+ = R_a^0,$$

и для каждого β , $0 \leq \beta \leq \infty$,

$$J_{Ta} + \chi J_{qa} = R_a^0. \quad (27)$$

Итак, величины Y_q , Y_T в (26) есть линейная комбинация этих величин для водной поверхности и почвы, лишенной растительности, что позволяет описать перенос тепла и влаги как в редком, так и в развитом растительном покрове. Измеряя R_a^0 , d_a^0 , T_a^0 , q_a^0 на высоте метеобудки, можно, зная β , найти потоки тепла и влаги, а также переменные водного режима почвы.

Кроме того, измеряя Y_q , Y_T в контрастных метеорологических условиях, можно получить статистическую оценку для β , а затем с помощью (30) оценить согласованные с моделью параметры растений.

Теорема 2. При $D'_\Sigma/D'_T \ll 1$, $D'_\Sigma/D'_{Ts} \ll 1$ дополнительно к (26)-(27) справедливы при $0 \leq \beta \leq \infty$ соотношения

$$\begin{aligned} J_{qI} &= J_{qa}^+ / (1 + \beta), & J_{TI} &= R_I - \chi J_{qI}; \\ J_{q0} &= \beta b J_{qa}^+ / (1 + \beta), & J_{T0} &= R_S - \chi J_{q0}. \end{aligned} \quad (28)$$

В безразмерном параметре β аккумулируются все параметры растений, влияющие на тепло- и влагоперенос в покрове: водный потенциал листьев ψ_l , площади активных поверхностей листьев

S_l и корней S_k . Зависимости (26) от β представлены на рис. 1, а зависимости (28) – на рис. 2.

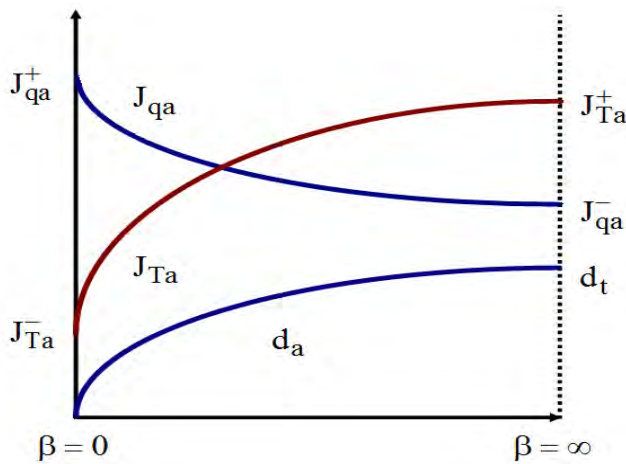


Рис. 1

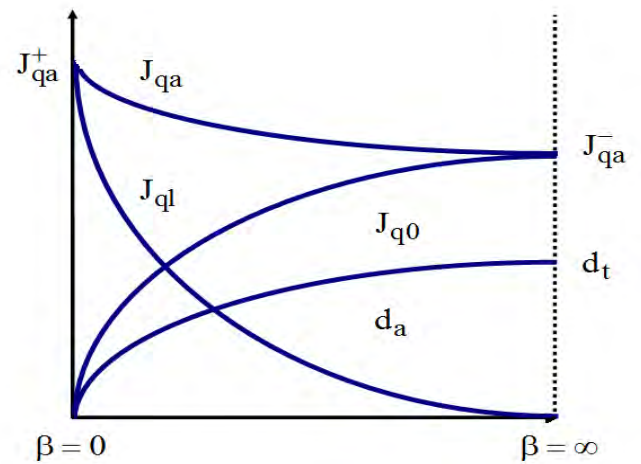


Рис. 2

Доказано, что зависимости в левой части (19)-(25) отвечают испарению с поверхности почвы, лишенной растительности ($\beta \rightarrow \infty$), а соотношения в правой части – испарению со свободной поверхности воды ($\beta \rightarrow 0$). Итак, зависимости (26) для растительного покрова представляют линейную комбинацию этих двух крайних ситуаций. Они позволяют также сформулировать легко измеряемые критерии адекватности модели (26)-(28) в виде

$$(y_q^+ - y_q) / (y_q - y_q^-) = \beta, \quad (y_T^+ - y_T) / (y_T - y_T^-) = \beta^{-1}. \quad (29)$$

например, в частности,

$$(J_{qa}^+ - J_{qa}) / (J_{qa} - J_{qa}^-) = \beta, \quad (T_a^+ - T_a) / (T_a - T_a^-) = \beta^{-1}.$$

Из (12) и $D'_l/D'_T \ll 1$ получено выражение для β , зависящее от переменных $\bar{\mu}_S$, S_l , S_k так, что $\beta = \infty$ при $\bar{\mu}_S > 1$ и

$$\beta = \frac{(D'_a + D'_s)r_{s0}}{S_l} \frac{1 - \delta_l \bar{\mu}_s}{1 - \bar{\mu}_s} + A_{kc} \frac{J_{qa}^+}{S_k} \frac{1}{1 - \bar{\mu}_s}, \text{ при } 0 < \bar{\mu}_s < 1;$$

$$\bar{\mu}_s = \psi_m^{-1} \int_{-\infty}^0 \psi_s \rho_k dx, \quad A_{kc} = \frac{1 + D_k(r_{kc} S_k)}{-\psi_m D_k}; \quad (30)$$

При $S_l \rightarrow 0$ и $S_k \rightarrow 0$ в неразвитом РП $\beta \rightarrow \infty$, что правильно отвечает на рис 1, 2 случаю отсутствия РП. При $S_l \rightarrow \infty$, $S_k \rightarrow \infty$ величина $\beta \rightarrow 0$, если учесть, что при этом должно быть также $\bar{\mu}_s \rightarrow 0$. Это правильно на рис 1, 2 отвечает РП, залитому водой.

Оценивая величину β с помощью выражений (29) при различных контрастных условиях можно получить согласованные с моделью статистические оценки используемых параметров растительного покрова.

7. Уравнение влагопереноса в почве

В отличие от (14)-(16) выражения (26)-(28) позволяют сформулировать сравнительно простое уравнение влагопереноса в почве независимо от уравнения теплопереноса и уравнения влагопереноса в растительном покрове. Уравнение влагопереноса имеет вид:

$$c_\psi \frac{\partial \psi_s}{\partial t} - \frac{\partial}{\partial x} \left\{ k_{\psi s} \frac{\partial \psi_s}{\partial x} \right\} + J_{q1} \rho_k = 0, \quad J_{q1} = J_{qa}^+ / (1 + \beta);$$

$$k_{\psi s} \frac{\partial \psi_s}{\partial x} + J_{q0} = Q(t), \quad J_{q0} = \beta b J_{qa}^+ / (1 + \beta); \quad x = 0;$$

$$\psi_s = \psi_s^0; \quad x = -H_s;$$

При этом β зависит от переменных $\bar{\mu}_s$, S_l , S_k так, что $\beta = \infty$ при $\bar{\mu}_s > 1$ и при $0 < \bar{\mu}_s < 1$ определяется выражением (30).

8. Оценки

Оценим D'_l/D'_T .

$$\frac{D'_T}{D'_l} = 1 + \frac{c_p D_T}{\delta\chi D_q} = 1 + \frac{c_p}{\delta\chi} \left(1 + D_T r_{s0} \frac{1 - \delta_l \mu_l}{1 - \mu_l} \right);$$

$$c_p/(\delta\chi) = 0.52; D_T \approx 3 * 10^{-2} \text{ м/сек}; r_{s0} \approx 150 \text{ сек/м};$$

$$\frac{D'_T}{D'_l} \approx 1.5 + 2.6 \frac{1 - \delta_l \mu_l}{1 - \mu_l} \geq 9.3 \text{ при } \mu_l = 0.5, \delta_l = -1.$$

Таким образом, $D'_l/D'_T \leq 0.1$, т.е. условие $D'_l/D'_T \ll 1$, представляется разумным. Очевидно, необходима проверка критериев (29).

Литература

1. Воротынцев А.В. Исследование модели переноса тепла и влаги в системе почва-растение // Математическая биология и биоинформатика. Спецвыпуск по итогам конференции ЭкоМатМод-2011. – 2012. – Т. 7, № 1. – С. 45-53.
2. Полуэктов Р.А. Динамические модели агроэкосистем. Л.: Гидрометеоиздат. 1991. 312 с.

Спасибо за внимание